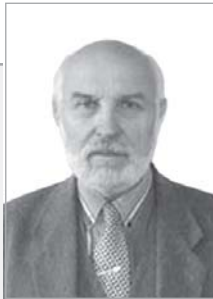


МАТЕМАТИЧЕСКОЕ МОДЕЛИРОВАНИЕ ТЕЧЕНИЯ РАБОЧЕЙ СРЕДЫ В ОСЕСИММЕТРИЧНЫХ ТОРЦЕВЫХ УПЛОТНЕНИЯХ С УЧЕТОМ ТОПОГРАФИИ ПОВЕРХНОСТИ

В.Б. Миносцев, В.В. Порошин, Д.Ю. Богомолов, В.Ю. Радыгин



МИНОСЦЕВ
Вениамин
Борисович

Доктор физико-математических наук, профессор кафедры «Общая и прикладная математика» Московского государственного индустриального университета (МГИУ). Заслуженный работник высшей школы РФ, лауреат премии им. Н.Е. Жуковского. Специалист в области прикладной математики и механики сплошных сред.



БОГОМОЛОВ
Дмитрий
Юрьевич

Кандидат технических наук, старший научный сотрудник МГИУ. Специалист в области измерения и анализа топографии поверхности, моделирования течения сплошных сред в тонких слоях. Автор более 20 научных трудов.



ПОРОШИН
Валерий
Владимирович

Кандидат технических наук, профессор кафедры «Технология и металлорежущие системы автомобилестроения» МГИУ. Специалист в области трибологии и линейных измерений. Автор более 120 научных трудов, патентов и свидетельств.



РАДЫГИН
Виктор
Юрьевич

Доцент кафедры «Информационные системы и технологии» МГИУ. Специалист в области измерения и анализа волнистости поверхности, герметизации торцевых металл-металлических уплотнений. Автор более 10 научных публикаций.

Введение

Одной из важнейших проблем при проектировании элементов новой техники в машиностроении, станкостроении, энергомашиностроении, в авиационной и аэрокосмической промышленности является проблема изоляции рабочих сред и обеспечения заданной степени герметичности различных аппаратов, сосудов, соединений трубопроводной арматуры и т.п. Для решения данной проблемы используют большое разнообразие уплотнительных устройств, как правило, конструктивно простых, но оказывающих зачастую определяющую роль в обеспечении надежности изделия в целом. Одним из характерных видов уплотнительных устройств, сочетающих в себе многие наиболее общие свойства и рабочие характеристики, являются металл-металлические соединения (рис. 1). Такие уплотнения широко применяются во многих отраслях промышленности.

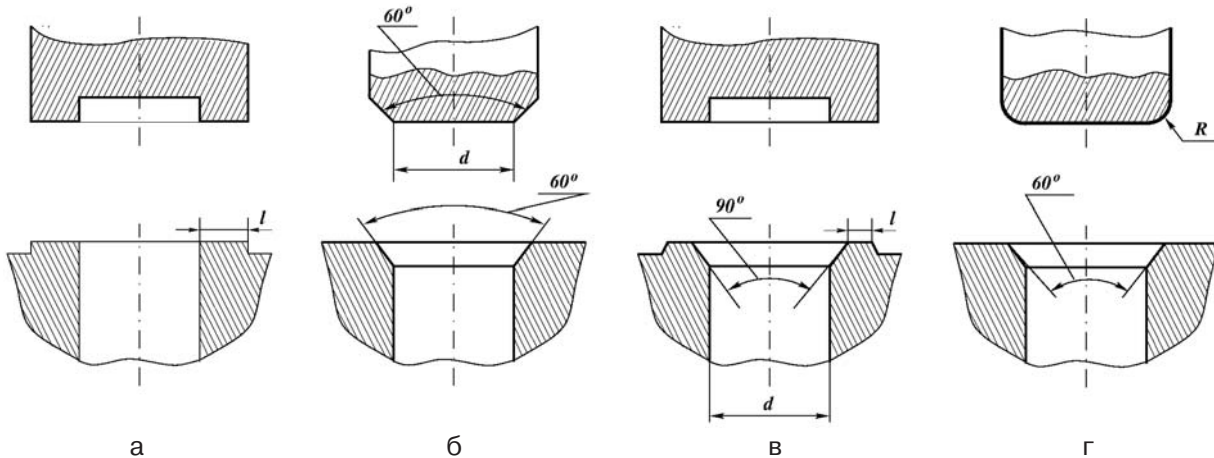


Рис. 1. Типы металл-металлических уплотнений по форме контакта:

а) плоский; б) конусный; в) линейный; г) конусно-сферический;

R , l и d радиус закругления, ширина пояска и рабочий диаметр уплотнения

По специфике механизма герметизации данные соединения относятся к контактным и их работоспособность определяется, с одной стороны, сложным характером влияния геометрических и физико-механических параметров рабочих поверхностей на динамику их контактного взаимодействия. Сложная структура стыка, с другой стороны, создает определенные проблемы для математического описания движения рабочих сред в соединениях. Вышеперечисленное определило то, что до настояще-

го времени не разработана единая теоретическая модель и алгоритмы расчета утечек рабочей среды в герметизируемых соединениях с учетом реальной топографии рабочих поверхностей стыка соединений и условий их эксплуатации.

Отсутствие расчетных моделей приводит к необходимости проведения длительного и трудоемкого экспериментального подбора материалов, технологических методов изготовления и сборки для каждого нового герметизируемого соединения, что существенно удлиняет и удорожает подготовительную стадию производства и препятствует разработке систем САПР.

В статье предложена модель потока рабочей среды в осесимметричных металл-металлических уплотнениях с использованием параметров реальной топографии уплотняемых поверхностей.

Постановка задачи

Для моделирования потока рабочей среды в уплотнении с учетом влияния шероховатости используется уравнение для поля давлений жидкой среды в тонких слоях, полученное Патиром и Чженом [1]:

$$\frac{\partial}{\partial x} \left(h_T^3 f(h_T) \frac{\partial p}{\partial x} \right) + \frac{\partial}{\partial y} \left(h_T^3 f(h_T) \frac{\partial p}{\partial y} \right) = 0, \quad (1)$$

$$h_T(x, y) = H + h_1(x, y) + h_2(x, y), \quad (2)$$

где x, y – декартовы координаты; $h_1(x, y)$, $h_2(x, y)$ – высоты волнистости нижней и верхней рабочих поверхностей уплотнения относительно средних плоскостей соответственно; H – зазор между средними плоскостями волнистости (постоянная величина); $h_T(x, y)$ – зазор в уплотнении с учетом топографии волнистости; $f(h_T)$ – эмпирическая функция, характеризующая влияние шероховатости, $p(x, y)$ – давление в канале, образуемом зазором. Для вычисления функции $f(h_T)$ можно воспользоваться методикой, рассмотренной в статье [2].

Для осесимметричных торцевых уплотнений уравнение (1) удобнее представить в полярных координатах:

$$\frac{1}{r} \frac{\partial}{\partial r} \left(r h_T^3 f(h_T) \frac{\partial p}{\partial r} \right) + \frac{1}{r} \frac{\partial}{\partial \varphi} \left(h_T^3 f(h_T) \frac{\partial p}{\partial \varphi} \right) = 0, \quad (3)$$

где r, φ – полярные координаты.

На рис. 2 представлена геометрия исследуемой области.

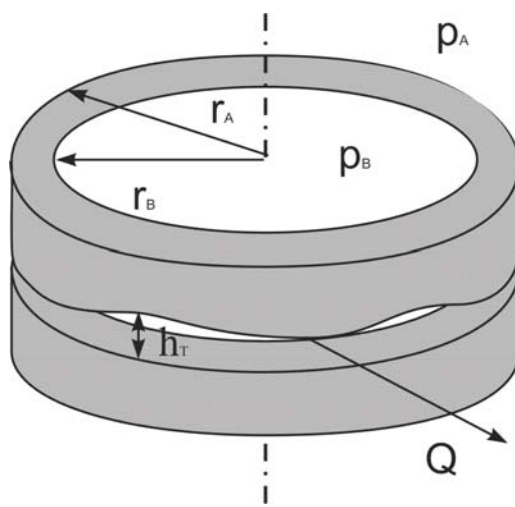


Рис. 2. Геометрия исследуемой области

Давления внутри и снаружи уплотнения постоянны и равны соответственно p_B и p_A ; радиусы внешней и внутренней границ уплотнения – r_A и r_B ; Q – направление потока жидкой среды.

При конечно-элементном моделировании рассматриваемая задача преобразуется к эквивалентной задаче нахождения минимума функционала

$$\chi = \iint_S \left[h_T^3 f(h_T) \left(r \left(\frac{\partial \hat{p}}{\partial r} \right)^2 + \frac{1}{r} \left(\frac{\partial \hat{p}}{\partial \varphi} \right)^2 \right) \right] dr d\varphi, \quad (4)$$

где S – кольцевая область, \hat{p} – пробная функция давления, удовлетворяющая граничным условиям:

$$\begin{aligned} \hat{p} &= p_A \text{ при } r=r_A, \\ \hat{p} &= p_B \text{ при } r=r_B. \end{aligned} \quad (5)$$

Область S представляется в виде конечно-элементной модели [3]. Используется регулярная сетка узловых координат с постоянным шагом по радиусу r и углу φ . Каждая ячейка сетки делится на два косоугольных треугольника диагональной линией (рис. 3). Полученные при таком разбиении элементы будут разного размера, однако при реальных размерах уплотнений разница длин сторон элементов в окружном направлении на внешней и внутренней границах не будет превышать 40%.

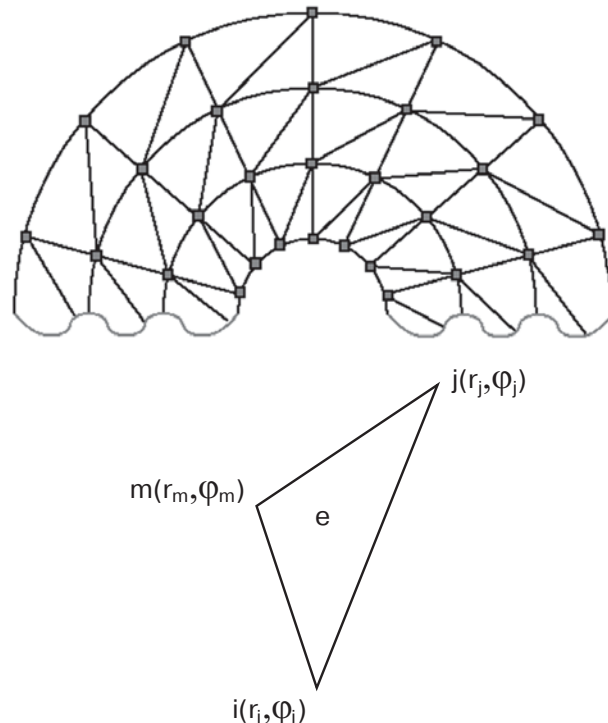


Рис. 3. Разбиение исследуемой области на конечные элементы

Пробные функции давления должны быть непрерывны и иметь кусочно-непрерывные первые производные. Для треугольных элементов в качестве пробных функций используются линейные полиномы:

$$\hat{\rho}^e(r, \varphi) = \alpha_1^e + \alpha_2^e r + \alpha_3^e \varphi, \quad r, \varphi \in e, \quad (6)$$

где e – отдельный конечный элемент; $\alpha_1^e, \alpha_2^e, \alpha_3^e$ – обобщенные параметры.

Эти параметры выражаются через узловые величины давления \bar{p}_i, \bar{p}_j и \bar{p}_m согласно узловым условиям:

$$\begin{aligned}\bar{p}_i &= \alpha_1 + \alpha_2 r_i + \alpha_3 \varphi_i, \\ \bar{p}_j &= \alpha_1 + \alpha_2 r_j + \alpha_3 \varphi_j, \\ \bar{p}_m &= \alpha_1 + \alpha_2 r_m + \alpha_3 \varphi_m.\end{aligned}\quad (7)$$

Разбиение области и условия непрерывности, накладываемые на пробные функции, позволяют записать функционал (4) в виде:

$$\chi = \sum_e \chi^e, \quad (8)$$

$$\chi^e = \iint_e h_T^3 f(h_T) \left[r \left(\frac{\partial \hat{\rho}}{\partial r} \right)^2 + \frac{1}{r} \left(\frac{\partial \hat{\rho}}{\partial \varphi} \right)^2 \right] dr d\varphi, \quad (9)$$

где χ^e – элементный вклад в функционал.

После подстановки полиномов пробной функции в выражение (9) для элементного вклада получаем:

$$\chi^e = \frac{\iint_e h_T^3 f(h_T) dr d\varphi}{\Delta^2} (c_i \bar{p}_i + c_j \bar{p}_j + c_m \bar{p}_m)^2 + \frac{\iint_e \frac{h_T^3 f(h_T)}{r} dr d\varphi}{\Delta^2} (d_i \bar{p}_i + d_j \bar{p}_j + d_m \bar{p}_m)^2, \quad (10)$$

где Δ – определитель системы уравнений (7), $c_i, c_j, c_m, d_i, d_j, d_m$ – коэффициенты, выраженные через координаты узлов элемента.

В точке минимума производные функционала по каждому узловому значению \bar{p}_u обращаются в нуль:

$$\frac{\partial \chi^e}{\partial \bar{p}_u} = \frac{\iint_e h_T^3 f(h_T) dr d\varphi}{\Delta^2} c_u (c_u \bar{p}_u + c_s \bar{p}_s + c_t \bar{p}_t) + \frac{\iint_e \frac{h_T^3 f(h_T)}{r} dr d\varphi}{\Delta^2} d_u (d_u \bar{p}_u + d_s \bar{p}_s + d_t \bar{p}_t), \quad (11)$$

где u, s, t – глобальные номера узлов сетки, входящих в элемент e . Присутствующие в выражении интегралы могут быть вычислены численно.

Полученные зависимости суммируются и приравниваются к нулю. Все вместе они образуют систему линейных уравнений:

$$[K]\{P\}=\{B\}, \quad (12)$$

где $[K]$ – матрица коэффициентов конечно-элементной модели; $\{P\}$ – вектор узловых давлений; $\{B\}$ – вектор, определяющийся граничными условиями.

Разрешающая система уравнений решается методом Гаусса.

Расчет утечек рабочей среды

При оценке герметичности соединений основным показателем являются объемные утечки [4]. Для их определения может быть использовано поле давления, полученное при расчете по методу конечных элементов. Для

конечно-элементной модели полные утечки получаются за счет суммирования локальных утечек по всем элементам вдоль внешней (или внутренней) границы уплотнения: Объемные утечки на внешней и внутренней границах рассчитываются по соотношениям [4]:

$$Q_A = \sum_{i=1}^{n_\phi} \Delta\varphi \frac{h_{mi}^3}{12\mu} \frac{(p_{n_r-1,i} - p_A)}{\ln r_A/r_{n_r-1}}, \quad h_{mi} = \frac{1}{2}(h_{Tn_r,i} + h_{Tn_r-1,i});$$

$$Q_B = \sum_{i=1}^{n_r} \Delta\varphi \frac{h_{mi}^3}{12\mu} \frac{(p_B - p_{2,i})}{\ln r_2/r_B}, \quad h_{mi} = \frac{1}{2}(h_{T1,i} + h_{T2,i}),$$

где $\Delta\varphi$ – шаг сетки по угловой координате; n_ϕ – число разбиений по угловой координате; n_r – число разбиений по радиальной координате; $p_{2,i}$ – значение давления в узловой точке на первой внутренней окружности; $p_{n_r-1,i}$ – значение давления в узловой точке на последней внутренней окружности; $h_{Tj,i}$ ($j=1, 2, n_r, n_\phi$) – значение реального зазора в соответствующих узлах сетки.

Заключение

Рассмотренная модель потока рабочей среды в осесимметричных металл-металлических уплотнениях с использованием параметров реальной топографии уплотняемых поверхностей может найти практическое применение при проектировании данных уплотнений, назначении технологических методов их изготовле-

ния с использованием современных систем САПР.

Список литературы

- Patir, N., and Cheng, H.S., An Average Flow Model for Determining Effects of Three-Dimensional Roughness on Partial Hydrodynamic Lubrication // ASME Journal of Lubrication Technology. 1978. Vol. 100. No 1. P. 12–17.
- Sheipak A.A., Porohsyn V.V., Bogomolov D.G. Application of finite element method (FEM) for calculation of flow factors in seals // Abstracts of papers from 2nd world tribology congress, Vienna, Austria, 3 - 7 September. 2001. P. 173–174.
- Норри Д., де Фриз Ж. Введение в метод конечных элементов. М.: Мир, 1981. – 304 с.
- Уплотнения и уплотнительная техника: Справочник / Кондаков Л.А., Голубев А.И., Овандер В.Б., Гордеев В.В., Фурманов Б.А., Кармугин Б.В.; Под общ. ред. Голубев А.И., Кондаков Л.А. – М.: Машиностроение, 1986. – 464 с.